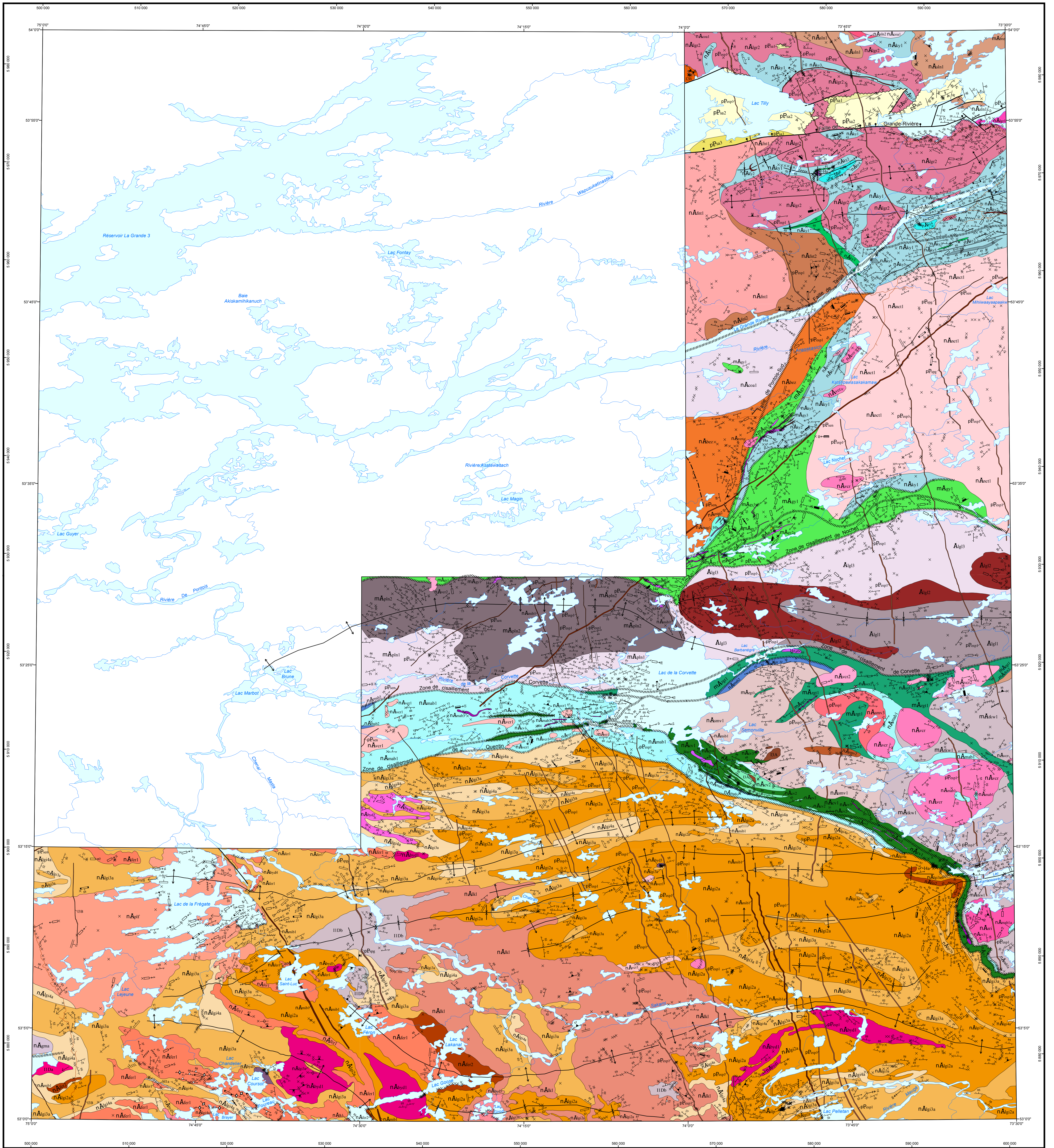


Géologie de la région du lac de la Corvette, Eyou Istchee Baie-James, Québec, Canada



LÉGENDE STRATIGRAPHIQUE

- PALÉOPROTÉROZOÏQUE**
- Dykes de Shogon (1999 à 22 Ma, Hamilton et al., 2016)
 Diabase gabbro-gabbroite
- Dykes du Lac Esprit (p/Préq. : 2690 Ma, Hamilton, communication personnelle, 2016; p/Préq. : 2069 et 21 Ma, Hamilton et al., 2001)
 Diabase : gabbro à gabbroite, orienté NW-SE
 Diabase : gabbro à gabbroite
- Dykes de Senneville (2216 à 4 Ma, Mortensen dans Buchan et al., 1996; 2221 à 24 Ma, Davis et al., 2018)
 Diabase : gabbroite
- Formation de Sakami**
 Conglomérat polygénique
 Arénite quartzique
 Mudrock, grès et conglomérat
- NEOARCHÉEN**
- Essaim de dykes de Mitasiani (2515 à 13 Ma, Hamilton, 2009; 2503 à 12 Ma, Davis et al., 2018)
 Diabase aphyrique
- Suite granitique du Vieux Comptoir (2683 à 2613,6 Ma, Goutier et al., 1999 et 2000; Bogatu et Huot, 2016; David, 2018a)
 Ensemble de granite différencié pouvant contenir des phases de granite pegmatitique, de granite à feldspath alcalin et de granite à spodumène
- Granite à spodumène
 Granite pegmatitique blanc; granite pegmatitique à feldspath alcalin et biotite + muscovite + tourmaline + grenat + biotite + muscovite-grenat, ruban, couramment pegmatitique
 Granite à biotite + magnésite; granite à biotite-magnésite + hornblende + épidoite, massif à légèrement folié
- Suite de Lablois**
 Intrusion ultramafique de Pelletan
 Métavolcanite à olivine, à phlogopite, avec des niveaux de métagabbro à anthophyllite-hornblende-plagioclase
- Suite de Richier (2693 à 25 Ma, Davis et al., 2018)
 Granodiorite à biotite-magnésite-hornblende, porphyrique à feldspath potassique; niveaux de tonalite et diorite foliées à hornblende-biotite
- Suite de Salleneuve**
 Granodiorite et monzodiorite quartzeuse homogènes à hornblende-biotite (10 à 25 %), foliées et de granulométrie moyenne à grossière. Les minéraux mafiques se présentent en amas millimétriques à centimétriques noires qui donnent à la roche un aspect moucheté en surface altérée
 Monzodiorite et monzodiorite quartzeuse porphyriques à feldspath potassique; diorite à hornblende-biotite
- Suite de Bezier (2712 à 25,8 Ma, David, 2019; 2674 à 21 Ma, St. Seymour et al., 1989)
 Monzodiorite quartzeuse, monzodiorite et granodiorite porphyriques à phénocristaux de feldspath potassique

SOUS-PROVINCE D'OPINACA

- Suite intrusive de Boyt**
 Tonalite à hypersthène-biotite et tonalite à biotite
 Tonalite, granite et diorite, à hypersthène
 Tonalite à biotite-magnésite, légèrement foliées
 Granodiorite et tonalite à biotite + hornblende + magnésite, foliées
 Granite à biotite, massif à folié
- Gneiss de Marjoubé (2689 à 24 Ma, David, 2018)
 Gneiss tonalitique à biotite + hornblende + magnésite, folié à rubané
- Suite de Féron (2710,4 à 2701,5 Ma, Morfin et al., 2016; David, 2020a, 2020b)**
 Diorite, tonalite et monzodiorite
- Monzodiorite quartzeuse, monzodiorite, monzodiorite quartzeuse et monzodiorite, à hornblende-biotite-magnésite, couramment porphyriques à phénocristaux de feldspath potassique
- Pluton de Lakani (2702,3 à 2 Ma, David, 2020)**
 Monzodiorite quartzeuse, monzodiorite quartzeuse et monzodiorite à hornblende-biotite-magnésite, porphyriques à phénocristaux de feldspath potassique et localement foliées ou magnésiennes
- Pluton de la Fregate (2710,4 à 2 Ma, Augland et al., 2016)**
 Monzodiorite quartzeuse, monzodiorite quartzeuse et granodiorite, porphyriques à phénocristaux de feldspath potassique
- Complexes de Lagache (2712 à 2640 Ma, Morfin et al., 2013; David, 2019)**
 Diorite dérivée de paragneiss à biotite + grenat, contenant plus de 50 % de mobilisat
 Métasiltite dérivée de paragneiss à biotite + grenat, contenant 10 à 50 % de mobilisat
 Paragneiss dérivé de wacke à biotite + grenat, contenant moins de 10 % de mobilisat
- SOUS-PROVINCE DE LA GRANDE**
- Pluton de Fontay**
 Diorite quartzeuse, monzodiorite quartzeuse et monzodiorite quartzeuse, à hornblende-biotite-magnésite
- Pluton de La Grande 4 (2681 à 13 Ma, Davis et al., 2018)**
 Tonalite à biotite + hornblende + magnésite, généralement foliées
- Pluton de Marbot (2702 à 2 Ma, David et al., 2011)**
 Granodiorite à biotite
- Formation de Marbot (2702 à 2 Ma, David et al., 2011)**
 Formation de fer
 Conglomérat polygénique et wacke
 Paragneiss dérivé de wacke et injecté de granite

Formation de Keyano (<2710 Ma, Davis et al., 2014)

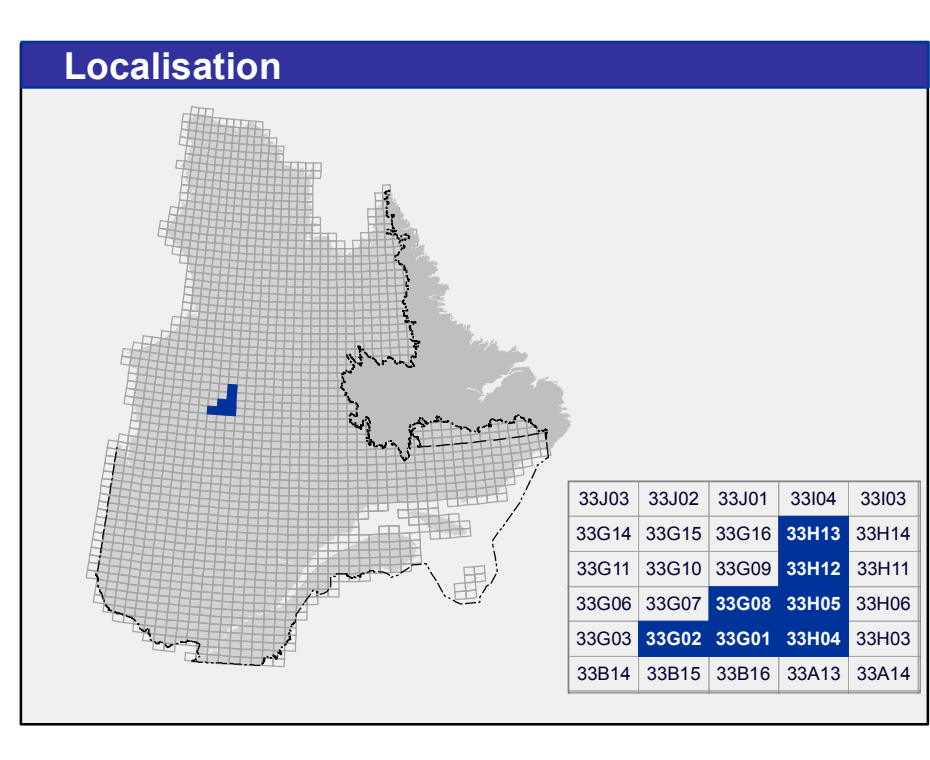
- Conglomérat polygénique et wacke
 Interstratification de niveaux de paragneiss à muscovite-sillimanite-biotite dérivé de mudrock, de paragneiss dérivé de wacke feldspathique et de formation de fer à sillimanite
 Amphibolite dérivée de volcanite mafique
 Formation de fer à sillimanite et oxydes rubanés
 Paragneiss dérivé de wacke feldspathique, à biotite-grenat-muscovite; formation de fer et conglomérat
- Formation de Magin (2720,5 à 27 Ma, David, 2012)**
 Formation de fer
- Suite de Coates (2719 à 2709,5 Ma, David et al., 2018; Simard et Lafrance, 2011)**
 Conglomérat polygénique et wacke
 Tonalite à biotite + hornblende + magnésite, généralement foliées
- Pluton de Nochet (2726 à 27 Ma, Davis et al., 2019)**
 Granodiorite, tonalite et granite, à biotite-magnésite à hornblende
- Pluton de Semoville (2746 à 25 Ma, Davis et al., 2018)**
 Tonalite et granodiorite à biotite-hornblende-magnésite, foliées
- Formation de Rouget (2742 à 25 Ma, David et al., 2014)**
 Diorite mélanocrate et amphibolite à hornblende-biotite dérivée de diorite, foliées
 Tonalite, granodiorite et granite, à biotite-magnésite
 Wacke feldspathique
 Formation de fer
 Tuf intermédiaire, localement tuf féalique
 Amphibolite dérivée de basalte et andésite, foliées à mylonitisées
- MÉSARCHÉEN**
- Groupe de Guver (2820 à 2866 Ma, Goutier et al., 2002; David et al., 2011, 2012)**
 Formation de fer et wacke
 Tuf féalique et intermédiaire
 Roche métavolcanique dérivée de volcanite féalique
 Amphibolite dérivée de basalte
- Intrusion de Kamasaawach (2831 à 28 Ma, Augland et al., 2016)**
 Diorite et diorite quartzeuse, granoblastiques et foliées
 Tonalite à biotite-hornblende + magnésite, foliées à gresquies; diorite et gneiss tonalitique
- Suite de Brésoles (2840 à 2803 Ma, David et al., 2011; Simard et al., 2000)**
 Gneiss rubané tonalitique à dioritique, tonalite très foliée

Formation de Rouget (2840 à 28 Ma, David et al., 2015)

- Formation de fer à sillimanite et à oxydes, localement à sulfures
 Amphibolite dérivée de basalte et andésite avec localement des niveaux féaliques
- Pluton de poste Le Moyne (M/Préq. : 2891 à 28 Ma, Goutier et al., 2002)**
 Tonalite à biotite-hornblende-magnésite et diorite à hornblende-biotite
 Tonalite à biotite + hornblende, foliées à gresquies; gneiss tonalitique et dioritique et diorite quartzeuse à hornblende-biotite
- ARCHÉEN**
- Complexe de Langelier (3452 à 216 à 2788 à 40 Ma, Goutier et al., 1999a; David, 2018a; Davis et al., 2014)**
 Tonalite à hornblende-biotite + magnésite, foliées
 Diorite à hornblende et diorite quartzeuse à biotite-hornblende, foliées
 Gneiss tonalitique à hornblende-biotite

LÉGENDE LITHOLOGIQUE

- PALÉOPROTÉROZOÏQUE**
- NEOARCHÉEN**
- DIB Diabase
 I10a Tonalite, granodiorite et granite différenciés
 I10b Tonalite à biotite ou à biotite-hornblende, foliées et injectées de granite
 I2a Système à feldspath alcalin-hornblende-magnésite + biotite
 I3a Gabbro
 I4a Métapélite et métaprovénite
 I4b Métaprovénite et gabbro
 M1a Gneiss granitique à biotite
 M1b Gneiss granodioritique à biotite
- Cette carte géologique en format PDF comporte des calques (ou couches) qui regroupent les divers éléments du document (zones géologiques, hydrographie, affleurements de géofaune, etc.). Ces calques peuvent être affichés ou masqués dans la section « Calques » du « Viseur du navigateur » d'Adobe Acrobat Reader 6.0.
- Les symboles et abréviations utilisés sur cette carte sont décrits dans la publication DV 2014-06 du ministère de l'Énergie et des Ressources naturelles.



Localisation

33,00 33,02 33,04 33,06 33,08
 33,10 33,12 33,14 33,16 33,18 33,20
 33,22 33,24 33,26 33,28 33,30
 33,32 33,34 33,36 33,38 33,40
 33,42 33,44 33,46 33,48 33,50

Métadonnées

Surface de référence géodésique : Ellipsoïde GRS 80
 Système de référence géodésique : NAD 83 compatible avec le système mondial WGS 84
 Projection cartographique : Mercator transverse universelle (MTU), fuseau 18
 Longitude d'origine : 74° 15'
 Latitude d'origine : 0°

Sources

Données
 Base de données topographiques et administratives (BOTA 250)

Organisme
 Ministère de l'Énergie et des Ressources naturelles

Réalisation
 Géologie : Jean Goutier, Guillaume Mathieu, Penelope Buriaux, Daniel Bandyajera (2011 et 2012)
 Références : Voir les références citées dans la section Travaux antérieurs du RG 2020-01
 Assistance technique : Karine Allard

Production
 Ministère de l'Énergie et des Ressources naturelles
 Direction générale de Géologie Québec

Diffusion
 Ministère de l'Énergie et des Ressources naturelles
 Direction de l'information géologique du Québec

Le présent document n'a aucune portée légale
 Dépot légal : Bibliothèque et Archives nationales du Québec
 © Gouvernement du Québec, 2^e trimestre 2021

RG 2020-01-C01

Carte de rapport RG 2020-01
 Pour obtenir les données les plus récentes concernant cette région, nous vous suggérons de consulter les produits géologiques du Système d'information géologique du Québec (SIGÉOQ).